



การกระตุ้นการทำงานของ MMP-2 โดยสารหลังจากแบคทีเรียที่เพาะเลี้ยงจากการร่องลึกปริทันต์

เกษฐา ปัทมพันธุ¹ ท.บ., วท.ม.

ชนธน หัชทอง² ชนกนิมิ โอลสถานนท² วงศ์พัท หลิวจุลลัจธน์²

จินตากษ คุรุวัฒนสุขादิ³ ท.บ., M.S.

หัตนะย ธรรมศักดิ์สุวรรณ¹ ท.บ., M.S.

ประสิทธิ์ ภาสวัณต¹ ท.บ., Ph.D.

¹ภาควิชาการวิภาคศาสตร์ คณะทันตแพทยศาสตร์ จุฬาลงกรณ์มหาวิทยาลัย

²นิสิตคณะทันตแพทยศาสตร์ จุฬาลงกรณ์มหาวิทยาลัย

³ภาควิชาจุลชีววิทยา คณะทันตแพทยศาสตร์ จุฬาลงกรณ์มหาวิทยาลัย

บทคัดย่อ

วัตถุประสงค์ การทดลองครั้งนี้ต้องการศึกษาผลของการกระตุ้นการทำงานของสารหลังจากแบคทีเรียที่เพาะเลี้ยงได้จากการร่องลึกปริทันต์ของผู้ป่วยในสภาวะที่ไม่มีอักซิเจน ที่มีต่อการกระตุ้นการทำงานของเอนไซม์ MMP-2 จากเซลล์เพาะเลี้ยงจากเนื้อเยื่ออ่อนของมนุษย์

วัสดุและวิธีการ แบคทีเรียจากร่องลึกปริทันต์ของผู้ป่วยถูกเพาะเลี้ยงในสภาวะที่ไม่มีอكسิเจนเป็นเวลา 5 วัน สารหลังจากแบคทีเรียทั้งที่ผ่านและไม่ได้ผ่านการต้ม ถูกนำไปกระตุ้นเซลล์เพาะเลี้ยงจากเนื้อเยื่ออ่อนของมนุษย์เป็นเวลา 48 ชั่วโมงในสภาวะที่ไม่มีซีรัม ระดับความเป็นพิษต่อเซลล์จะวัดด้วยเทคนิค MTT assay ส่วนการกระตุ้นการทำงานของเอนไซม์จะวัดโดยเทคนิค zymography ในอีกการทดลองหนึ่ง การกระตุ้นเซลล์ด้วยสารหลังจากแบคทีเรียจะทำในสภาวะที่มีหรือไม่มี actinomycin D และ cycloheximide เป็นเวลา 24 ชั่วโมง

ผลการศึกษา สารหลังจากแบคทีเรียในระดับที่ไม่เป็นพิษต่อเซลล์ ทั้งที่ผ่านและไม่ผ่านการต้ม สามารถกระตุ้นการทำงานของ MMP-2 ลดลงของการกระตุ้นจะแปรผันตามความเข้มข้นของสารหลังที่ใช้ ผลของสารหลังในการกระตุ้น MMP-2 จะถูกยับยั้งได้ด้วย cycloheximide แต่ไม่ยับยั้งด้วย actinomycin D

สรุป สารหลังจากแบคทีเรียจากร่องลึกปริทันต์ของผู้ป่วย สามารถกระตุ้นการทำงานของเอนไซม์ MMP-2 จากเซลล์เพาะเลี้ยงจากเนื้อเยื่ออ่อนของมนุษย์ โดยการกระตุ้นนี้ไม่ต้องการการสร้าง mRNA ในมัตต์ต้องการการสร้างโปรตีนใหม่

(ว ทันต อุปฯ 2544;24:1-12)

บทนำ

โรคปริทันต์ (periodontal disease) เป็นโรคที่เกิดจากการทำลายอย่างเรื้อรังของเนื้อเยื่อปริทันต์ (periodontal tissue)

ซึ่งประกอบด้วยกระดูกน้ำพัน (alveolar bone) เส้นใยยีดพัน (periodontal ligament) เคลือบ牙根พัน (cementum) และส่วนของเนื้อเยื่อที่ยึดเกาะกับด้าพัน (junctional epithelium)

of gingiva)¹ สาเหตุของโรคนี้ส่วนใหญ่มาจากการสะสมของคราบจุลทรรศ (dental plaque) บริเวณใกล้ขอบเหงือกและในร่องเหงือก (gingival sulcus) โดยปากวูนหลักฐานว่าแบคทีเรียที่เป็นสาเหตุหลักของโรคปริทันต์เกิดจากแบคทีเรียกรัมลบานิดแท่งที่ไม่ต้องการออกซิเจนในการเจริญเติบโต^{2,3}

กระบวนการทำลายเนื้อเยื่อบริทันต์ นอกจากจะเกิดโดยตรงจากเอนไซม์ที่สร้างขึ้นจากแบคทีเรียแล้ว^{4,5} หลักฐานจากงานวิจัยในระยะหลังพบว่า การทำลายของเนื้อเยื่อส่วนใหญ่จะเป็นผลมาจากการตอบสนองของเซลล์ของเนื้อเยื่อบริทันต์ที่มีต่อแบคทีเรีย⁶⁻⁸ โดยพบว่าแบคทีเรียจะสามารถเหนี่ยวนำให้เซลล์เม็ดเดือดขาว โดยเฉพาะ mononuclear cells ให้สร้างและหลังสาร cytokines โดยเฉพาะสารในกลุ่ม Interleukin และ Tumor necrosis factor ออกมานเป็นจำนวนมาก⁹⁻¹¹ และ cytokines เหล่านี้ จะมีผลในการกระตุ้นเซลล์เม็ดเดือดขาวและเซลล์ของเนื้อเยื่อบริทันต์ ให้สร้างและหลังเอนไซม์ออกมานเป็นจำนวนมาก ซึ่งเป็นผลให้เกิดการทำลายของเนื้อเยื่อบริทันต์¹²

เอนไซม์ที่มีบทบาทในการทำลายของเนื้อเยื่อบริทันต์คือเอนไซม์ในกลุ่ม MMP (matrix metalloproteinase)⁷ ซึ่งเป็นกลุ่มของเอนไซม์ที่สามารถย่อยสลายโปรตีนใน extracellular matrix ได้ทุกชนิดรวมทั้งสามารถย่อยเส้นใยคอลลาเจน (collagen fiber) ซึ่งเป็นโปรตีนหลักของเนื้อเยื่อบริทันต์ MMP เป็นกลุ่มของเอนไซม์ที่ต้องการอิโอนของสังกะสี (zinc) ในการทำงานซึ่งเป็นที่มาของชื่อ metalloproteinase เอนไซม์ในกลุ่มนี้จะประกอบด้วยสมาชิกมากกว่า 17 ชนิด และสามารถแบ่งออกเป็นกลุ่มใหญ่ๆ ได้อย่างน้อย 2 กลุ่ม คือกลุ่มที่เก้าอยู่ที่ผิวเซลล์ หรือ membrane type MMP (MT-MMP) และกลุ่มที่ถูกหลังออกมานอกเซลล์ (secreted enzyme) ซึ่งในกลุ่มหลังนี้ จะประกอบด้วยเอนไซม์อย่างน้อย 3 กลุ่มคือ ๑) interstitial collagenase (MMP-1, -8, -13) ซึ่งสามารถย่อยเส้นใยคอลลาเจนฯ) gelatinase หรือ Type IV collagenase (MMP-2, -9) ซึ่งสามารถย่อย gelatin และ คอลลาเจนชนิดที่ IV และ ๓) stromelysin (MMP-3, -10, -11) ซึ่งสามารถย่อยโปรตีนใน extracellular matrix ที่ไม่ใช่คอลลาเจนได้หลายชนิด¹³ หน้าที่ของเอนไซม์ในกลุ่มนี้จะเกี่ยวข้องกับกระบวนการปรับเปลี่ยนของเนื้อเยื่อ (tissue remodelling) และกระบวนการซ่อมแซมทั้งในสภาวะปกติ และในพยาธิสภาพ โดยพบว่าการสูญเสียสมดุลของการสร้างและหลังเอนไซม์ในกลุ่มนี้ จะเป็นสาเหตุสำคัญของการเกิดรอยโรคหลักชนิดด้วยกัน¹⁴

เอนไซม์ในกลุ่มของ MMP ที่มีรายงานว่ามีปริมาณเพิ่มมากขึ้นในรอยโรคปริทันต์คือ เอนไซม์ MMP-1 และ MMP-8¹⁵⁻¹⁷ โดยเอนไซม์ทั้งสองชนิดคือ MMP-1 เป็นเอนไซม์ที่สร้างหลังจากเซลล์สร้างเส้นใยและ macrophage ในขณะที่ MMP-8 จะถูกสร้างและหลังจากเซลล์เม็ดเดือดขาวชนิด polymorphonuclear leukocytes⁷ โดยพบว่าระดับของเอนไซม์ทั้งสองนี้จะเพิ่มขึ้นทั้งในน้ำลายและในน้ำร่องเหงือกของผู้ป่วยโรคปริทันต์¹⁸⁻²¹

MMP-2 หรือ gelatinase A เป็นเอนไซม์อีกด้วยที่มีชื่อสร้างและหลังจากเซลล์สร้างเส้นใย รวมทั้งเซลล์สร้างเส้นใยของเนื้อเยื่อบริทันต์^{22,23} เอนไซม์ MMP-2 เป็นเอนไซม์ที่สามารถย่อยคอลลาเจนชนิดที่ IV ซึ่งเป็นโปรตีนที่เป็นองค์ประกอบสำคัญในเบสเมมเบรน (basement membrane) ของเซลล์บุผิวและเซลล์บุผนังหลอดเลือด²⁴ และแม้ว่ากลไกการทำลายของเนื้อเยื่อบริทันต์ จะเกี่ยวข้องกับการทำลายและปรับเปลี่ยนโครงสร้างของเนื้อเยื่อบุผิวและหลอดเลือดภายในอวัยวะปริทันต์ ซึ่งสัมพันธ์กับการย่อยสลายเบสเมมเบรนภายในเนื้อเยื่อบริทันต์ อย่างไรก็ตี จากรายงานการตรวจสอบชนิดและระดับของเอนไซม์ MMP ในน้ำร่องเหงือกของผู้ป่วยโรคปริทันต์ ยังมีความไม่ชัดเจนเกี่ยวกับระดับของ MMP-2 ในน้ำร่องเหงือก^{7,25} ทำให้ความสนใจในบทบาทของเอนไซม์ด้านนี้ในรอยโรคปริทันต์ มีไม่นัก

อย่างไรก็ตี หลักฐานจากการวิจัยในระยะหลัง ชี้ว่า MMP-2 น่าจะมีบทบาทในการทำลายเนื้อเยื่อบริทันต์ โดยมีรายงานการพบเอนไซม์ MMP-2 ภายในเนื้อเยื่อบริทันต์ทั้งในระยะปกติและในสภาวะที่มีการอักเสบ รวมทั้งพบว่าระดับของ MMP-2 จะเพิ่มขึ้นภายในเนื้อเยื่อเหงือกของผู้ป่วยโรคปริทันต์²³ กลไกการทำงานของ MMP-2 ในการทำลายเนื้อเยื่อ นอกจากจะสัมพันธ์กับการย่อยคอลลาเจนชนิดที่ IV ภายนในเบสเมมเบรน แล้ว รายงานเมื่อเร็วๆ นี้ยังพบว่า MMP-2 สามารถย่อยสลายเส้นใยคอลลาเจนได้หลายชนิด รวมทั้งคอลลาเจนชนิดที่ I ได้เช่นเดียวกับ MMP-1 และ MMP-8 ด้วย^{13,26} นอกจากนี้ ยังมีรายงานว่าระดับของการทำลายของเนื้อเยื่อจะสัมพันธ์กับระดับของ MMP-2 ในรูป active form ซึ่งเป็นรูปที่พร้อมจะทำงาน มากกว่าที่จะสัมพันธ์กับระดับของ MMP-1²⁷ และเมื่อมีการศึกษาในห้องปฏิบัติการ โดยการใช้ตัวยับยั้งจำเพาะ (specific inhibitor) ต่อเอนไซม์ ยังปรากฏผลว่า MMP-2 เป็นเอนไซม์หลักที่เกี่ยวข้องกับการย่อยสลายโปรตีนในเนื้อเยื่อปีดต่อของปากอึกด้วย²⁸ จากผลของรายงานและการศึกษา

ข้างต้น ทำให้เพิ่มความเป็นไปได้เกี่ยวกับบทบาทของ MMP-2 ในกระบวนการการทำลายของเนื้อเยื่อปริทันต์ แต่ผลการศึกษาเท่าที่มีรายงานในปัจจุบัน ยังไม่สามารถสรุปความสัมพันธ์ของ MMP-2 กับโรคปริทันต์ได้อย่างชัดเจนนัก

ลักษณะเฉพาะประการหนึ่งของเอนไซม์ MMP รวมทั้ง MMP-2 คือเอนไซม์จะถูกหลังออกมานิรูป latent form ซึ่งอยู่ในรูปที่ต้องถูกกระตุ้นจึงจะทำงาน และต้องการกระตุ้นเพื่อให้เปลี่ยนเป็นรูป active form โดยการตัดส่วน propeptide domain ออก¹³ กลไกการกระตุ้นการทำงานของ MMP จัดเป็นกลไกสำคัญในการควบคุมการทำงานของเอนไซม์ โดยการเสียสมดุลของการควบคุมการกระตุ้นการทำงานจะเป็นอีกสาเหตุหนึ่งที่เกี่ยวข้องกับการเกิดโรคอย่างไรค

ดังนั้น วัตถุประสงค์ของการทดลองนี้ ต้องการหาความสัมพันธ์ระหว่างแบคทีเรียชนิดที่ไม่ต้องการออกซิเจนในการเจริญเติบโตที่เพาะเลี้ยงได้จากกรองลึกบริหันต์ของผู้ป่วยกับเอนไซม์ MMP-2 ที่สร้างขึ้นโดยเซลล์เพาะเลี้ยงจากเหงือกของมนุษย์ โดยศึกษาอิทธิพลของสารที่แบคทีเรียนหลังจากการนำการสร้าง และการกระตุ้นการทำงานของ MMP-2 ซึ่งอาจมีส่วนสัมพันธ์กับการรับกวนความสมดุลของเอนไซม์ในเนื้อเยื่อปริหันต์ และนำไปสู่การทำลายเนื้อเยื่อและก่อให้เกิดรอยโรคในที่สุด

วัสดุและวิธีการ

การเพาะเลี้ยงแบคทีเรียชนิดที่ไม่ต้องการออก-
ซิเจนในการเจริญเติบโต

แบคทีเรียชนิดที่ไม่ต้องการออกซิเจนในการเจริญเติบโต
ได้จากน้ำในร่องลึกบริหันต์ของผู้ป่วยโรคปริทันต์ที่มารับการรักษา
ที่คณะทันตแพทยศาสตร์ จุฬาลงกรณ์มหาวิทยาลัย การเก็บน้ำ
ในร่องลึกปริทันต์จะเลือกเก็บจากร่องที่มีความลึกอย่างน้อย 6
มิลลิเมตร จากผู้ป่วยที่ไม่มีโรคทางระบบที่อาจมีผลกระแทบต่อ²
สภาวะของโรคปริทันต์ รวมทั้งไม่ได้รับยาปฏิชีวนะและยังไม่เคย³
ได้รับการรักษามาก่อน การเก็บน้ำในร่องลึกปริทันต์จะดัดแปลง⁴
จากวิธีที่ได้เคยมีการรายงานไว้โดย Kuvatana suchati และ⁵
Laousrisin²⁹ เล็กน้อยโดยเริ่มด้วยการกำจัดคราบจุลินทรีย์ที่อยู่⁶
บริเวณหนีของเนื้อกอออกให้หมด แล้วใช้แท่งกระดาษ (paper
point) ที่ปราศจากเชื้อสอดคลงในร่องลึกปริทันต์จนถึงส่วนก้น⁷
ของร่อง ทิ้งไว้ 10 วินาที จากนั้นจึงนำแท่งกระดาษนี้ใส่ลงใน⁸
สารละลาย RTF (Reduced transport fluid) ซึ่งมีสารต้านเชื้อ⁹

เป็นองค์ประกอบเพื่อทำลายออกซิเจนในสารละลายน้ำ^{30,31} และนำไปเพาะเลี้ยงใน anaerobic chamber (Forma scientific, model 1016, USA) โดยเลี้ยงใน Tryptic soy broth เป็นเวลา 5 วัน ที่อุณหภูมิ 37 องศาเซลเซียสในสภาวะที่ปราศจากออกซิเจน โดยไม่ส่วนผสมของออกซิเจนประกอบด้วยก๊าซไนโตรเจนร้อยละ 85 ก๊าซคาร์บอนไดออกไซด์ร้อยละ 10 และก๊าซไฮโดรเจนร้อยละ 5

ปริมาณของแบคทีเรียจะวัดโดยการนำน้ำเลี้ยงเชื้อที่เพาะเลี้ยงไปวัดค่าการดูดกลืนแสงด้วย Spectrophotometer ที่ค่าความยาวคลื่นแสง 600 นาโนเมตร และปรับปริมาณของน้ำเลี้ยงเชื้อให้มีจำนวนแบคทีเรียที่ให้ค่าการดูดกลืนแสงเท่ากับ 1 ในทุกการทดลอง จานั้นจึงนำน้ำเลี้ยงเชื้อไปเกี่ยงด้วยเครื่องเกี่ยงหนีสูนย์กลางที่ระดับความเร็ว 3000g เป็นเวลา 10 นาทีเพื่อแยกส่วนของเชื้อออกจากส่วนของน้ำเลี้ยงเชื้อน้ำเลี้ยงเชื้อที่เก็บได้จะถูกนำไปกรองด้วยแผ่นกรองที่มีรูพรุขนาด 0.2 ไมโครเมตร เพื่อกำจัดเศษส่วนของเชื้อที่ยังหลงเหลืออยู่ออกให้หมด น้ำเลี้ยงเชื้อที่ได้นี้จะประกอบด้วยสารหลังจากแบคทีเรีย และต่อไปจะเรียกว่า สารหลังจากแบคทีเรีย³²

สารหลังจากแบคทีเรียที่ใช้ในการทดลองจะเก็บจากผู้ป่วย 3 คน โดยสารหลังที่ได้จะถูกเก็บไว้ที่อุณหภูมิ-80 องศาเซลเซียส จนกว่าจะถูกนำมาระบุในกระบวนการทดลอง

การเพาะเลี้ยงเซลล์สร้างเส้นใยจากเนื้อเยื่อเหล็ก

เซลล์สร้างเส้นใยจากเนื้อ จะเติมจากชั้นเนื้อที่ได้
จากผู้ป่วยอายุ 18-25 ปี ที่มาดอนพั�กรรมล่างซี่สุดท้ายที่ภาค
วิชาศัลยศาสตร์ คณะทันตแพทยศาสตร์ จุฬาลงกรณ์มหาวิทยาลัย
โดยพื้นที่ดอนนั้นเนื่องจากการจัดพื้นหรือเป็นพังคุดโดยที่ไม่มี
การอักเสบของพื้นหรือเนื้อ ชั้นเนื้อเนื้อที่ติดอยู่กับครอบพื้นที่
ถูกดอน จะถูกตัดออกมาเพาะเลี้ยงตามวิธีที่ได้เคยรายงานไว้
แล้ว³³ โดยมีวิธีการคือ ชั้นเนื้อเนื้อที่ได้มาจะถูกล้างด้วย
ฟอสเฟตบัฟเฟอร์เซลลาร์ (phosphate buffer saline) ที่ปราศจาก
เชื้อหلامครั้ง จากนั้นจึงตัดออกเป็นชิ้นเล็ก ๆ ขนาดประมาณ
1 ลูกบาศก์มิลลิเมตร วางในจานเลี้ยงเซลล์ (Nunc) และเลี้ยง
ในอาหารเลี้ยงเซลล์ชนิด DMEM (Dulbecco's Modified
Eagle's Medium, Gibco) ที่ประกอบด้วยซีรัมรักษา 10%
(10% fetal calf serum, Gibco) กลูตามีน 2 มิลลิโมล/liter
(2 mM Glutamine, Gibco) เพนิซิลลิน 100 ยูนิต/milliliter
(100 IU/ml penicillin, Gibco) สเตรปโต莫ญซินซัลเฟต 100
ไมโครกรัม/milliliter (100 µg/ml streptomycin sulfate,

Gibco) ແລະແຄມໂຟເທອຣີຟິນນີ 0.25 ໃນໂຄຮກຮັມ/ມິລລິລິຕິຣ (0.25 $\mu\text{g}/\text{ml}$ amphotericin B, Gibco) ສັ່ນເນື້ອເໜັກຈະຖຸກເລີ່ມໃນຫຼັບຕົວທີ່ຄຸນໜູນ 37 ອົງສາເຫຼີຍສ ແລະມີວະດັບກຳນົດໄດ້ອອກໄຫຼດຮ້ອຍລະ 5 ເໜີລົດຈະເຄີ່ອນອອກຈາກຫຼັບຕົວເນື້ອແລ້ວເຈົ້າຈານເລີ່ມເໜີລົດກາຍໃນ 2 ສັປາດັ່ງ ຈາກນັ້ນຈະຖຸກດ່າຍລາງຈານເລີ່ມເໜີລົດໃໝ່ ແລະເວີນນັບເປັນເໜີລົດຮຸນທີ່ 1 ກາຮກທດລອງນີ້ ຈະໃຊ້ເໜີລົດທີ່ເພັະເລີ່ມຈາກຜູ້ປ່າຍ 3 ດວນ ໂດຍໃຊ້ເໜີລົດໃນຮຸນທີ່ 3-7

ກາຮກຮະຕຸ້ນເໜີລົດເພາະເລີ່ມດ້ວຍສາຮຫລື່ງຈາກແບກທີ່ເຮັຍ

ເໜີລົດເພາະເລີ່ມຈະຖຸກດ່າຍລາງໃນຈານເລີ່ມເໜີລົດແບບ 24 ພລມ (Nunc) ທີ່ຄວາມໜານແນ່ນ 50,000 ເໜີລົດ/ຫລຸມ/ມິລລິລິຕິ ເປັນເວລາທີ່ນີ້ວັນ ຈາກນັ້ນອາຫານເລີ່ມເໜີລົດຈະຖຸກເປົ່າຍືນເປັນນິດທີ່ໄມ້ມີເຮົາຮົມ ແຕ່ປະກອບດ້ວຍພາກປະກອບທີ່ໄປນີ້ ຕີ່ອ ITS (Insulin-Transferin-Selenium), Sodium pyruvate, non-essential amino acid, vitamin mixture ແລະ bovine serum albumin³⁴ (Gibco) ເປັນເວລາອີກ 1 ດີນ ກ່ອນທີ່ຈະເປົ່າຍືນອາຫານເລີ່ມເໜີລົດ ອີກຮັງໄດ້ໃຊ້ອາຫານເລີ່ມເໜີລົດທີ່ໄມ້ມີເຮົາຮົມແມ່ນໜັງດັ່ນ ພວກມັກທີ່ເຕີມສາຮ່າງຈາກແບກທີ່ເຮັຍໃນອັດຮ່າສ່ວນສາຮ່າງຈາກເລີ່ມເໜີລົດ ເທົ່າກັນ 0 (ກຸ່ມຄວນຄຸນ), 1/100, 1/50, 1/25/, 1/10 ແລະ 1/5 ໂດຍໃນກຸ່ມຄວນຄຸນຈະຕິມ trypic soy broth ລົງໃນປະມານເທົ່າກັບປະມານຂອງສາຮ່າງທີ່ໃຊ້ກະຕຸ້ນເໜີລົດແລ້ວເລີ່ມຕ່ອງໄປເອົາ ເປັນເວລາ 48 ຊົ່ວໂມງ

ໃນອີກກາຮກທດລອງນີ້ ສາຮ່າງຈາກແບກທີ່ເຮັຍຈະຖຸກຕັ້ມເປັນເວລາ 15 ນາທີ ເພື່ອທຳລາຍໃກ່ຮຽນສ້າງຂອງໂປຣດິນຫຼືເອນໄໝ໌ ໃນສາຮ່າງທີ່ກ່ອນທີ່ຈະນຳມາກະຕຸ້ນເໜີລົດແມ່ນໜັງດັ່ນ^{32,35,36}

ເພື່ອເປັນການທຽບກຳລົງໄກ່ກາຮກຮະຕຸ້ນເໜີລົດຂອງສາຮ່າງຈາກແບກທີ່ເຮັຍອີກ 24 ຊົ່ວໂມງ (actinomycin D ແລະ cycloheximide ໄດ້ຈາກ Sigma, USA)

ກາຮກວັດຄວາມເປັນພິ້ນດ້ວຍເທິນິກ MTT assay

ໃນກາຮກວັດຄວາມເປັນພິ້ນຂອງສາຮ່າງຈາກແບກທີ່ເຮັຍ ວັດໂດຍ MTT assay³⁷ ເໜີລົດຖຸກດ່າຍລາງໃນຈານເລີ່ມເໜີລົດແບບ 24 ພລມ ເກື່ອນເຕີຍກັບໜັງດັ່ນ ແລະກະຕຸ້ນດ້ວຍສາຮ່າງຈາກແບກທີ່ເຮັຍໃນປະມານຕ່າງໆ ກັນເປັນເວລາ 24 ຊົ່ວໂມງ ໂດຍອາຫານເລີ່ມເໜີລົດ

ຈະຖຸກເປົ່າຍືນເປັນນິດທີ່ໄມ້ phenol red ແລະນີ MTT ທີ່ຄວາມເຂັ້ມຂັ້ນສຸດທໍາຍເທົ່າກັນ 0.5 ມິລລິກຮັມ/ມິລລິລິຕິ ໃນ 4 ຊົ່ວໂມງສຸດທໍາຍຂອງກະຕຸ້ນ

ເມື່ອຄວບເວລາ 24 ຊົ່ວໂມງ ອາຫານເລີ່ມເໜີລົດຈະຖຸກດູດອອກ ແລ້ວເຕີມ dimethyl sulfoxide (DMSO) 1 ມິລລິລິຕິ ລວງໃນແຕ່ລະຫຼຸມຂອງຈານເລີ່ມເໜີລົດເພື່ອລະລາຍພຶກ formazan ທີ່ເໜີລົດສ້າງຂຶ້ນຈາກສາຮະລາຍ MTT ຈາກນັ້ນຈຶ່ງນໍາໄປໄອ່ານຄ່າກະຕຸກລື່ນແສ່ງດ້ວຍ spectrophotometer ທີ່ຄວາມຍາກລື່ນແສ່ງ 570 ນາໂມ-ເມື່ອ

ກາຮກວັດຈຳນວນເໜີລົດດ້ວຍວິທີ່ອມດ້ວຍສີເມີລິນບຸລຸ

(methylene blue assay)

ເມື່ອຄວບເວລາໃນກະຕຸ້ນເໜີລົດ ອາຫານເລີ່ມເໜີລົດຈະຖຸກເກີບເພື່ອນໍາໄປວິເຄຣະທີ່ອນໄໝ໌ MMP-2 ໃນຂະນະທີ່ເໜີລົດບັນຈານເລີ່ມຈະຖຸກຕົງຮົງດ້ວຍພົມາດີ-ໄໂຣດ (formaldehyde) ຄວາມເຂັ້ມຂັ້ນຮ້ອຍລະ 4 ໃນຝອສັເປັບປັບພົມາດີ-ໄໂຣດເປັນເວລາ 30 ນາທີ ກ່ອນທີ່ຈະກຳກຳວັດຈຳນວນເໜີລົດໂດຍກາຮຍ້ອມດ້ວຍສີເມີລິນບຸລຸຕາມວິທີ່ໄດ້ເຄີຍຮາຍງານໄວ້ແລ້ວ³⁸ ໂດຍມີວິທີ່ການກື້ອງເໜີລົດທີ່ຖຸກຕົງຮົງແລ້ວຈະຖຸກລັກຄົງດ້ວຍຝອສັເປັບປັບພົມາດີ-ໄໂຣດ 1 ຄຽງແລ້ວລັກຄົງດ້ວຍບອເຮຕັບປັ-ເພົວ (borate buffer) ທີ່ມີຄວາມເປັນກວດ-ເບສ (pH) 8.5 ຄວາມເຂັ້ມຂັ້ນ 0.01 ໂມລາຣີອີກ 1 ຄຽງ ຈາກນັ້ນຈຶ່ງຍ້ອມດ້ວຍສີເມີລິນບຸລຸຄວາມເຂັ້ມຂັ້ນຮ້ອຍລະ 1 ເປັນເວລາ 30 ນາທີ ເມື່ອຄວບກຳນົດເວລາແລ້ວຈຶ່ງລັກສີສ່ວນເກີນດ້ວຍບອເຮຕັບປັ-ເພົວຢ່າງນ້ອຍ 4 ຄຽງ ທີ່ໄວ້ໃຫ້ແໜ່ງ ແລ້ວທຳລາຍດ້ວຍສາຮະລາຍອັກອຍອດລົດກັບກຽດໄໂໂຕຣຄລອິກ ສັດສ່ວນ 1:1 ພລມລະ 1 ມິລລິລິຕິ ນໍາສາຮະລາຍທີ່ໄດ້ໄປໄອ່ານຄ່າກະຕຸກລື່ນແສ່ງດ້ວຍ spectrophotometer ທີ່ຄວາມຍາກລື່ນແສ່ງ 667 ນາໂມ-ເມື່ອ

ກາຮກວິເຄຣະທີ່ເອັນໄໝ໌ MMP-2 ດ້ວຍວິທີ່ Zymography

ອາຫານເລີ່ມເໜີລົດທີ່ເກີບໄດ້ຈາກກາຮກທດລອງຈະຖຸກນໍາມາວິເຄຣະທີ່ເອັນໄໝ໌ MMP-2 ດ້ວຍວິທີ່ zymography ຈຶ່ງມີວິທີ່ກາຮໂດຍຍ່ອດືອກຕົວ ອາຫານເລີ່ມເໜີລົດຈະຖຸກຜົນກັບ Laemmli buffer³⁹ ແລ້ວນໍາໄປແຍກດ້ວຍໄຟຟ້າໃນ polyacrylamide gel ທີ່ມີຄວາມເຂັ້ມຂັ້ນຂອງ acrylamide ຮ້ອຍລະ 10 ແລະນີສ່ວນຜົນຂອງ gelatin ໃນປະມານ 1 ມິລລິກຮັມ/ມິລລິລິຕິ ໂດຍ gelatin ຈະເປັນຫັບສຕຣາ (substrate) ສຳຮັບເອັນໄໝ໌ MMP-2 ແລະປະມານຂອງອາຫານເລີ່ມເໜີລົດທີ່ໃຫ້ຈະເປົ່າຍືນເຫັນວ່າມີຄວາມເປັນພິ້ນຂອງ ເໜີລົດຈະກຳກຳວັດດ້ວຍສີເມີລິນບຸລຸໜັງດັ່ນ

ເມື່ອສົ່ງການແຍກດ້ວຍໄຟຟ້າແລ້ວ gel ຈະຖຸກລັກດ້ວຍສາຮ

ละลาย TritonX-100 ความเข้มข้นร้อยละ 2.5 สามารถ รอบ ละ 10 นาที ก่อนนำไปปั่นด้วยสารละลาย developing buffer (0.15M NaCl, 10mM CaCl₂, 50mM Tris-HCl pH7.5, 0.1% Brij 35) เป็นเวลา 1 คืนที่ อุณหภูมิ 37 องศาเซลเซียส จากนั้นจึงย้อมด้วย Brilliant Blue R 250 (Sigma) ความเข้มข้น ร้อยละ 0.5 ในสารละลายเมทิลแอลกอฮอล์ร้อยละ 40 และ ก่อตัวซีดิกร้อยละ 10 แล้วล้างด้วยสารละลายเมทิลแอลกอฮอล์ ร้อยละ 5 และก่อตัวซีดิกร้อยละ 7.5⁴⁰ บริเวณที่มีเอนไซม์ MMP-2 จะปรากฏเป็นแถบในสีน้ำเงิน

ผลการศึกษา

ผลของสารหลังจากแบคทีเรียที่มีต่อเอนไซม์ MMP-2 แสดงไว้ในรูปที่ 1 ซึ่งเป็นการวิเคราะห์เอนไซม์ MMP-2 ด้วย เทคนิค zymography ผลการทดลองแสดงให้เห็นว่าเมื่อกำรตุ้น เชลล์ด้วยสารหลังจากแบคทีเรียในปริมาณต่าง ๆ กันเป็นเวลา 48 ชั่วโมง จะพบเอนไซม์ MMP-2 ในรูปที่เป็น active form ซึ่ง มีน้ำหนักไม่เท่ากันกว่า latent form ประมาณ 8-10 กิโล- ดالتัน โดย latent form ของเอนไซม์ MMP-2 จะมีน้ำหนัก ไม่เท่ากันในรูปที่เป็น active form ของเอนไซม์ MMP-2 ในขณะที่ active form ของเอนไซม์จะมีน้ำหนักไม่เท่ากันในรูปที่เป็น active form ของเอนไซม์ MMP-2 ในอาหาร เลี้ยงเชลล์จะเห็นได้ไม่ชัดเจนนัก นอกจากนี้ ยังพบว่าผลของสารหลังจากแบคทีเรียในการกำรตุ้นการทำงานของเอนไซม์ MMP-2 จะแปรผันตามปริมาณของสารหลังที่ใช้กำรตุ้นเชลล์ โดยเริ่มเห็นการกำรตุ้นชัดเจนที่อัตราส่วนของสารหลัง/อาหาร เลี้ยงเชลล์ 1/50

เมื่อทำการทดสอบระดับความเป็นพิษของสารหลังจาก แบคทีเรียที่มีต่อเชลล์เพาะเลี้ยงจากเห็ดด้วยเทคนิค MTT assay (รูปที่ 2) ผลการทดลองแสดงให้เห็นว่าระดับของสารหลัง จากแบคทีเรียที่กำรตุ้นการทำงานของ MMP-2 คือที่อัตราส่วน ของสารหลัง/อาหารเลี้ยงเชลล์ 1/100 ถึง 1/10 จะเป็นระดับที่ ไม่เกิดความเป็นพิษต่อเชลล์ และในการทดลองที่เหลือทั้งหมด จะใช้อัตราส่วน 1/50

เพื่อตรวจสอบว่า แถบสีที่ปรากฏในรูปที่ 1 เกิดจากเอนไซม์ MMP-2 แผ่นเจลจะถูกบ่มในสารละลาย developing buffer ที่มี EDTA (Ethylenediaminetetra-acetic acid) ที่ความ เข้มข้นร้อยละ 1.5 ซึ่งเป็นตัวยับยั้งการทำงานของ MMP ผสม อยู่ EDTA จะยับยั้งการทำงานของ MMP-2 ทำให้เอนไซม์ไม่

สามารถย่อย gelatin ใน gel จึงไม่พบแถบสี ดังแสดงในรูปที่ 3 เพื่อเป็นการยืนยันความสามารถของสารหลังจากแบคทีเรีย ในการกำรตุ้นการทำงานของเอนไซม์สารหลังจากแบคทีเรียที่เพาะ เลี้ยงจากเชลล์ด้วย Brij 35 คุณภาพน้ำมากำรตุ้นเชลล์ เพาะเลี้ยงจากเห็ดด้วย ผลการทดลองในรูปที่ 4 แสดงว่าสารหลัง จากแบคทีเรียที่เพาะเลี้ยงได้จากผู้ป่วยโรคบริทันต์ทั้งสามราย สามารถกำรตุ้นการทำงานของ MMP-2 นอกจากนี้ ยังพบว่า สารหลังจากแบคทีเรียเหล่านี้ ยังสามารถกำรตุ้นการทำงานของ เอนไซม์ MMP-2 เมื่อทดสอบกับเชลล์เพาะเลี้ยงจากเห็ดด้วย EDTA ของผู้ป่วยรายอื่น ๆ ด้วย (ผลการทดลองที่ไม่ได้แสดงไว้)

เมื่อทำการกำรตุ้นเชลล์เพาะเลี้ยงด้วย actinomycin D ซึ่งเป็นสารที่สามารถยับยั้งกระบวนการสร้าง mRNA (transcription process)⁴¹ หรือ cycloheximide ซึ่งสามารถยับยั้ง กระบวนการสร้างโปรตีน (translation process)⁴² เป็นเวลา 30 นาทีก่อนที่จะกำรตุ้นเชลล์ด้วยสารหลังจากแบคทีเรียเป็น เวลา 24 ชั่วโมง ผลการทดลองในรูปที่ 5 แสดงให้เห็นว่าการ ยับยั้งกระบวนการสร้างโปรตีนทำให้ระดับของเอนไซม์ MMP-2 ลดลงอย่างมากทั้งในกลุ่มควบคุม และกลุ่มที่ได้รับสารหลังจาก แบคทีเรีย และไม่ปรากฏ active form ของ MMP-2 ในทั้ง สองกลุ่ม แต่ในสภาวะที่ยับยั้งการสร้าง mRNA ระดับของ เอนไซม์ในทั้งสองกลุ่มลดลงไม่มากนัก และยังคงปรากฏ active form ของ MMP-2 ในกลุ่มที่ถูกกำรตุ้นด้วยสารหลังจากแบคทีเรีย อย่างไรก็ได้ ระดับของ active form ที่ปรากฏขึ้นจะน้อยกว่า ระดับที่พบในการทดลองอื่น ๆ เนื่องจากการทดลองนี้ เก็บผลที่ 24 ชั่วโมง แทนที่จะเป็น 48 ชั่วโมงเช่นการทดลองอื่น ๆ เนื่อง จากการคงอยู่ของ actinomycin D และ cycloheximide ใน อาหารเลี้ยงเชลล์นานกว่า 24 ชั่วโมง จะเป็นพิษต่อเชลล์ (ผล การทดลองที่ไม่ได้แสดงไว้)

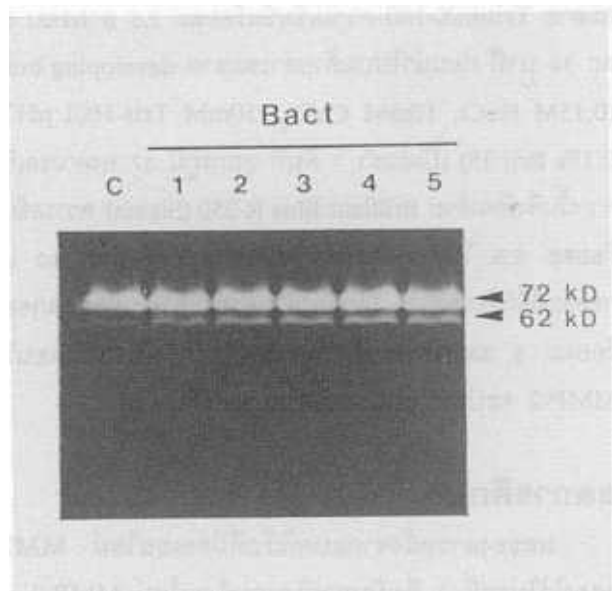
เพื่อตรวจสอบคุณสมบัติของสารในสารหลังจากแบคทีเรีย ที่มีผลในการกำรตุ้นการทำงานของ MMP-2 สารหลังจาก แบคทีเรียจะถูกนำไปต้มเป็นเวลา 15 นาที ก่อนที่จะนำไปกำรตุ้น เชลล์เป็นเวลา 48 ชั่วโมง โดยการต้มจะเป็นการทำลายสาร จำพวกเอนไซม์ในสารหลังจากแบคทีเรีย ผลการทดลองพบว่า ผลของสารหลังที่ถูกต้มเป็นเวลา 15 นาที ยังคงมีความสามารถ ในการกำรตุ้นการทำงานของ MMP-2 ที่หลังออกจากเชลล์ เพาะเลี้ยงจากเห็ดด้วย ซึ่งแสดงว่าสารหลังที่สามารถกำรตุ้นการ ทำงานของ MMP-2 จะมีคุณสมบัติที่ทนต่อความร้อนได้ (รูปที่ 6)

รูปที่ 1 ผลของสารหลังจากแบคทีเรียในการกระตุ้นการทำงานของ MMP-2

เซลล์ถูกกระตุ้นด้วยสารหลังเป็นเวลา 72 ชั่วโมง ด้วยอัตราส่วนของสารหลัง/อาหารเลี้ยงเซลล์เท่ากับ 1/100, 1/50, 1/25, 1/10, และ 1/5 (ແລະที่ 1-5 ตามลำดับ) การกระตุ้นการทำงานของ MMP-2 ถูกวิเคราะห์ด้วย gelatin zymography ผลการทดลองแสดงว่าสารหลังจากแบคทีเรียสามารถกระตุ้นการทำงานของ MMP-2 เมื่อเปรียบกับกลุ่มควบคุม (c) และผลของการกระตุ้นจะเปลี่ยนตามความเข้มข้นของสารหลังที่ใช้กระตุ้น หัวลูกศรแสดงตำแหน่งของ MMP-2 ที่ 72 kDa (latent) และ 62 kDa (active), Bact = สารหลังจากแบคทีเรีย

Fig. 1 The effect of bacterial supernate on MMP-2 activation.

Human gingival fibroblasts were treated with bacterial supernate for 72 hours at the dilution of bacterial supernate/culture medium 1/100, 1/150, 1/25, 1/10, and 1/5 (lane 1-5, respectively). MMP-2 activation was examined by gelatin zymography. The results indicate that bacterial supernate can activate MMP-2 in a dose dependent manner when compared with control (c). Arrow heads indicate the 72 kDa (latent) and 62 kDa (active). Bact = สารหลังจากแบคทีเรีย.

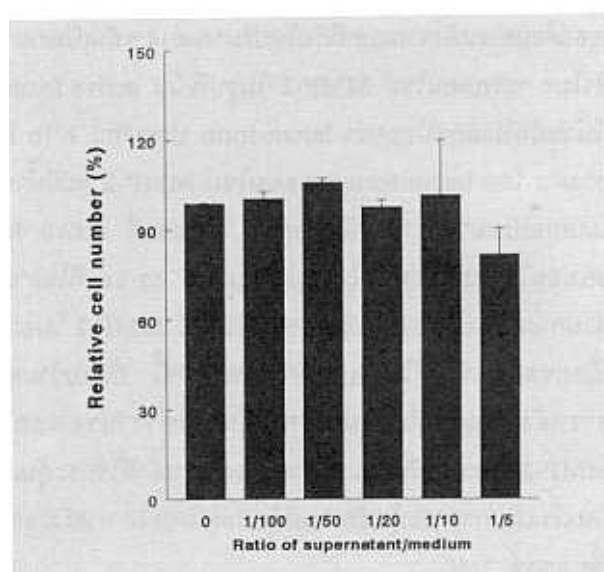


รูปที่ 2 กราฟแสดงความเป็นพิษของสารหลังจากแบคทีเรีย

เซลล์ถูกกระตุ้นด้วยสารหลังเหมือนการทดลองข้างต้นเป็นเวลา 24 ชั่วโมง และวัดความเป็นพิษด้วยวิธีวิเคราะห์แบบ MTT จากนั้นคำนวณหาจำนวนเซลล์โดยเทียบกับกราฟมาตราฐาน แกนตั้งของกราฟแสดงจำนวนร้อยละของเซลล์ ส่วนแกนนอนแสดงอัตราส่วนของสารหลัง/อาหารเลี้ยงเซลล์ที่ใช้ในการกระตุ้นผลการทดลองแสดงว่า ปริมาณเซลล์ไม่มีการเปลี่ยนแปลงในทุกความเข้มข้นของสารหลังจากแบคทีเรียที่ใช้ยกเว้นที่อัตราส่วน 1/5 ซึ่งมีจำนวนลดลงประมาณร้อยละ 20

Fig. 2 Graph shows the toxicity of bacterial supernate.

Cells were grown and treated as described above for 24 hours. Cytotoxicity was measured by MTT assay and converted into cell number by comparing with the standard curve. The Y-axis is the percentage of cell number. The X-axis is the ratio of bacterial supernate used in the experiment. The result indicates that the cell number is not affected by any dilutions of bacterial supernate except at the dilution 1/5 which cell number decreases approximately 20%



รูปที่ 3 การยับยั้งการทำงานของ MMP-2 ด้วย EDTA

เซลล์ถูกกระตุ้นด้วยสารหลังจากแบคทีเรีย ที่อัตราส่วน 1/50 เป็นเวลา 48 ชั่วโมง อาหารเลี้ยงเซลล์จากกลุ่มควบคุม (Bact-) และกลุ่มที่ถูกกระตุ้น (Bact+) ถูกวิเคราะห์ด้วย gelatin zymography และบ้วนใน developing buffer ที่มี (+) หรือไม่มี (-) EDTA ผลการทดลองแสดงว่า แบบสีจะหายไปเมื่อบ้วนใน developing buffer ที่มี EDTA. หัวลูกศรแสดงตำแหน่งของ MMP-2 ที่ 72 และ 62 kDa

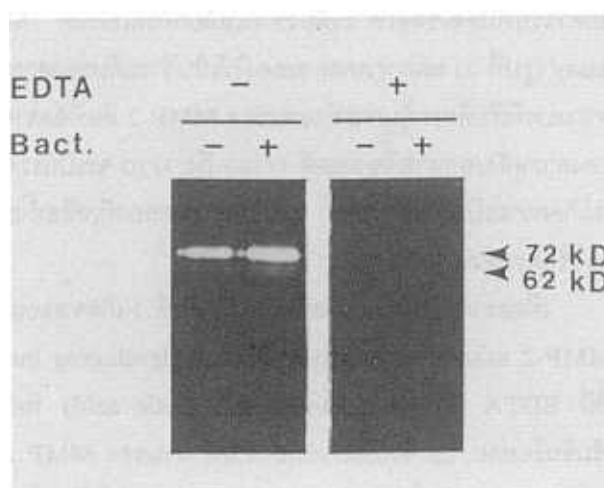


Fig. 3 Inhibition of MMP-2 by EDTA.

Cells were cultured in the absence (Bact-) or presence (Bact+) of bacterial supernate at the dilution of 1/50 for 48 hours. MMP-2 from culture medium was analyzed with gelatin zymography and incubated in the developing buffer with (+) or without (-) EDTA. Clear band disappeared when the gel was incubated in the developing buffer with EDTA. Arrow heads indicate the position of 72 and 62 kDa.

รูปที่ 4 ผลของสารหลังจากแบคทีเรียที่เตรียมจากผู้ป่วย 3 ราย

สารหลังจากเตรียมจากผู้ป่วย 3 ราย และใช้กระดับน้ำตาลที่ความเข้มข้น 1/50 เป็นเวลา 48 ชั่วโมง ผลการวิเคราะห์ด้วยเทคนิค gelatin zymography แสดงว่า สารหลังจากผู้ป่วยทั้งสาม สามารถกระตุ้นการทำงานของ MMP-2 ได้ หัวสูตรแสดงตำแหน่งของ MMP-2 ที่ 72 และ 62 kDa, Bact = สารหลังจากแบคทีเรีย 1,2,3 หมายถึงสารหลังจากผู้ป่วยรายที่ 1,2 และ 3

Fig. 4 The effect of bacterial supernate prepared from 3 patients.

Bacteria supernate was prepared from 3 patients and was used to activate cells at 1/50 dilution for 48 hours. Gelatin zymography analysis indicated that all preparations of bacterial supernate could similarly activate MMP-2. Arrow heads indicate the position of MMP-2 at 72 and 62 kDa. Bact = bacterial supernate, 1,2,3 = bacterial supernate from 3 patients.

รูปที่ 5 ผลของ actinomycin D และ cycloheximide ในการกระตุ้นการทำงานของ MMP-2 โดยสารหลังจากแบคทีเรีย

Actinomycin D (Act D) หรือ cycloheximide (CHX) ถูกเติมลงในอาหารเลี้ยงเซลล์ 30 นาทีก่อนการกระตุ้นเป็นเวลา 24 ชั่วโมง ผลจาก gelatin zymography แสดงว่า actinomycin D ไม่สามารถยับยั้งการกระตุ้นการทำงานของ MMP-2 (เปรียบเทียบ Act D bact+ กับ Act D bact-) ในขณะที่ cycloheximide ยับยั้งการเกิด MMP-2 ที่ตำแหน่ง 62 kDa (CHX bact+). หัวสูตรแสดงตำแหน่งของ MMP-2 ที่ 72 และ 62 kDa, Bact = สารหลังจากแบคทีเรีย

Fig. 5 The effect of actinomycin D and cycloheximide on the activation of MMP-2 by bacterial supernate.

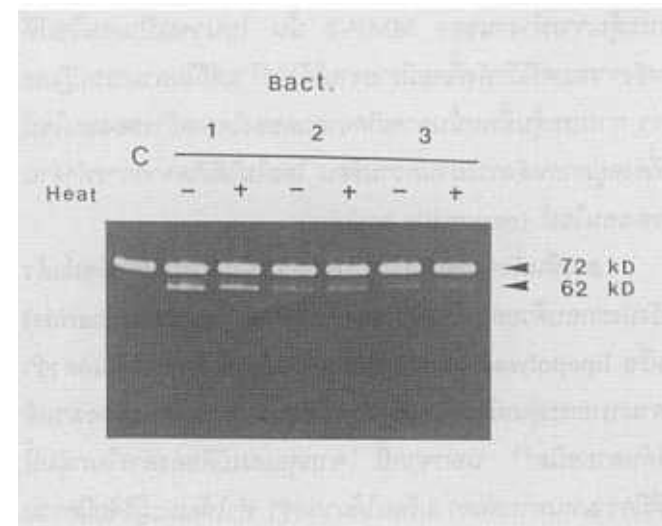
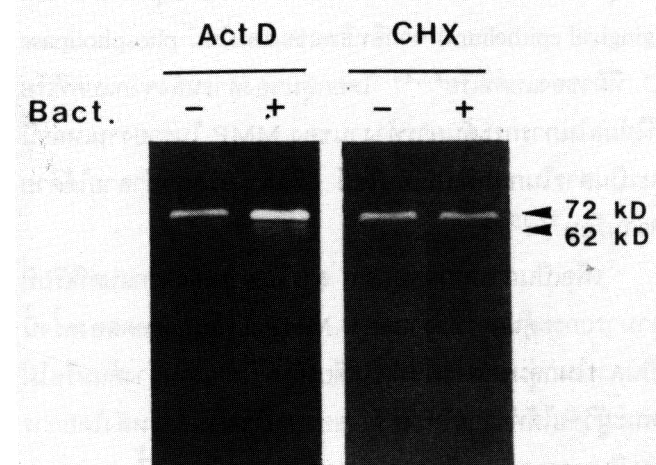
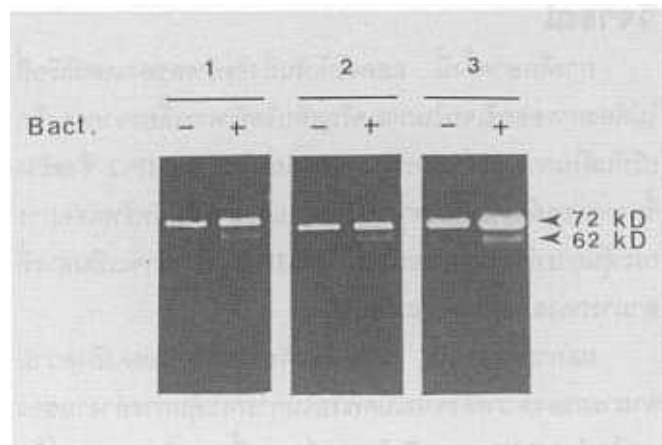
Actinomycin D (Act D) and cycloheximide (CHX) was added into culture medium for 30 minutes prior to the 24 hour-activation with bacterial supernate. Gelatin zymography indicated that actinomycin D had no inhibitory effect on MMP-2 activation (compared Act D bact+ with Act D bact-), while cycloheximide eliminate the 62 kDa band (CHX bact+). Arrow heads indicate the position of MMP-2 at 72 and 62 kDa. Bact = bacterial supernate.

รูปที่ 6 ผลของสารหลังจากแบคทีเรียที่ผ่านการต้มในการกระตุ้นการทำงานของ MMP-2

สารหลังจากผู้ป่วย 3 ราย ทั้งที่ผ่านการต้ม (heat+) และไม่ผ่าน (heat-) ถูกนำมากระตุ้นเซลล์ด้วยอัตราส่วนของสารหลัง/อาหารเลี้ยงเซลล์ 1/50 ผลการวิเคราะห์ด้วยเทคนิค gelatin zymography แสดงว่าสารหลังทั้งสองกลุ่มสามารถกระตุ้นการทำงานของ MMP-2 ได้คล้ายคลึงกัน หัวสูตรแสดงตำแหน่งของ MMP-2 ที่ 72 และ 62 kDa, Bact = สารหลังจากแบคทีเรีย 1,2,3 หมายถึงสารหลังจากผู้ป่วยรายที่ 1,2 และ 3

Fig. 6 The effect of heat-inactivated bacterial supernate on MMP-2 activation.

Bacterial supernate from 3 patients either heat-inactivated (heat+) or non-heated (heat-) were used to activate human gingival fibroblast at dilution of bacterial supernate/medium 1/50. Gelatin zymography analysis reveals that both types of bacterial supernate could similarly activate MMP-2. Arrow heads indicate the position of MMP-2 at 72 and 62 kDa. Bact = bacterial supernate, 1,2,3 = bacterial supernate from 3 different patients.



วิจารณ์

การศึกษาครั้งนี้ แสดงให้เห็นถึงอิทธิพลของแบคทีเรียที่ไม่ต้องการออกซิเจนในการเจริญเติบโตที่เพาะเลี้ยงจากร่องลึกบริหันต์ในการกระตุ้นการทำงานของเอนไซม์ MMP-2 ซึ่งสร้างขึ้นจากเซลล์เพาะเลี้ยงจากเนื้อเยื่อ และสารที่มีอิทธิพลต่อการกระตุ้นการทำงานของเอนไซม์ MMP-2 นี้ น่าจะเป็นสารที่สามารถคงสภาพในความร้อนได้

ผลการทดลองนี้ สอดคล้องกับรายงานที่แสดงถึงความสามารถของสารหลังจากแบคทีเรียในการกระตุ้นการทำงานของเอนไซม์ MMP บางชนิดในเซลล์เพาะเลี้ยง เช่น การกระตุ้นการหลัง MMP-1 ในรูปที่พร้อมจะทำงานจากการเหนี่ยวแน่นของเอนไซม์จากแบคทีเรียในเซลล์สร้างเส้นจากเนื้อเยื่อ³⁵ หรือการกระตุ้นการทำงานของ MMP-9 ที่หลังจากเซลล์บุผิวจากเนื้อเยื่อ (gingival epithelium) จากอิทธิพลของเอนไซม์ phospholipase C ที่ผิวของแบคทีเรีย^{43,44} โดยกลุ่มของสารหลังจากแบคทีเรียที่ให้ผลในการกระตุ้นการทำงานของ MMP ในรายงานเหล่านี้ จะเป็นสารในกลุ่มที่เป็นเอนไซม์ ซึ่งสามารถถูกทำลายได้ด้วยความร้อน^{32,35,36}

เพื่อเป็นการตรวจสอบว่า สารในสารหลังจากแบคทีเรียที่สามารถกระตุ้นการทำงานของ MMP-2 ในการทดลองครั้งนี้ เป็นสารในกลุ่มของเอนไซม์ เช่นเดียวกับที่มีรายงานข้างต้นหรือไม่ คณะผู้วิจัยได้ทำลายโดยโครงสร้างของเอนไซม์ในสารหลังโดยการต้มเป็นเวลา 15 นาทีก่อนนำไปกระตุ้นเซลล์เพาะเลี้ยง ปรากฏผลว่า สารหลังที่ผ่านความร้อนดังกล่าวยังคงความสามารถในการกระตุ้นการทำงานของ MMP-2 ดังนั้น หากผลการทดลองที่ได้ทำให้คณะผู้วิจัยเชื่อว่า สารในสารหลังที่มีอิทธิพลต่อการกระตุ้นการทำงานของ MMP-2 นั้น ไม่น่าจะเป็นเอนไซม์ที่หลังจากแบคทีเรียดังที่เคยมีรายงานไว้^{35,43} แต่ก็ไม่สามารถปฏิสูตรว่า การกระตุ้นที่พบนั้นอาจเกิดจากผลของโครงสร้างของเอนไซม์ที่คงอยู่ภายหลังการผ่านความร้อน โดยไม่ได้เกิดจากการทำงานของเอนไซม์ (enzymatic activity)

สารที่หลังจากแบคทีเรีย นอกจากสารทำพากเอนไซม์แล้ว ยังประกอบด้วยสารในกลุ่มของ น้ำตาล (polysaccharide) หรือ lipopolysaccharide อีกหลายกลุ่ม ซึ่งมีรายงานแสดงว่า สามารถกระตุ้นหรือเหนี่ยวแน่นการเปลี่ยนแปลงพฤติกรรมของเซลล์ได้หลายชนิด⁴⁵ นอกจากนี้ จากคุณสมบัติของสารในกลุ่มนี้ ที่มีความทนทานต่อความร้อนได้มากกว่า ทำให้คณะผู้วิจัยมีความเห็นว่า สารในกลุ่มนี้ อาจจะเกี่ยวข้องกับการกระตุ้นการทำงานของ MMP-2 ในการทดลองครั้งนี้

Lipopolsaccharide เป็นสารหลังจากแบคทีเรียที่มีอิทธิพลต่อเซลล์หลายชนิด รวมทั้งเซลล์สร้างเส้นจากเนื้อกะเพาะเลี้ยง (fibroblast) ไซโตไคน์ที่เกี่ยวข้องกับการอักเสบ (inflammatory cytokines) โดยเฉพาะกลุ่มของ interleukin และ tumor necrosis factor รวมทั้งเพิ่มการสร้างและหลังสารในกลุ่ม prostaglandins ด้วย และเซลล์ที่สามารถตอบสนองต่อสารกลุ่มนี้ ได้แก่ เซลล์เม็ดเลือดขาวจำพวก mononuclear cells เซลล์บุผิวหลอดเลือด (endothelial cells) และเซลล์สร้างเส้นใย (fibroblast) ผลของการเพิ่มไซโตไคน์และ prostaglandins จะมีผลต่อการกระตุ้นการสร้างและหลังของ MMP ในเนื้อเยื่อ และนำไปสู่การทำลายของเนื้อเยื่อย่างกว้างขวาง

แม้ว่าจะมีรายงานถึงความสัมพันธ์ระหว่างบทบาทของไซโตไคน์ที่เกี่ยวข้องกับการอักเสบและ prostaglandins ในการกระตุ้นการหลังและการทำงานของเอนไซม์ในกลุ่มของ MMP หลายชนิด เช่น MMP-1, MMP-8 และ MMP-3 แต่ผลที่มีต่อ MMP-2 กลับไม่ชัดเจน และยังไม่มีรายงานที่แสดงถึงผลของ inflammatory cytokines และ prostaglandins ในการกระตุ้นการทำงานของ MMP-2 ดังนั้น คณะผู้วิจัยจึงไม่คิดว่า ผลของไซโตไคน์ และ prostaglandins จะเกี่ยวข้องกับการกระตุ้นการทำงานของ MMP-2 ที่เกิดขึ้น แต่ก็ไม่สามารถตัดอิทธิพลของปัจจัยจากไซโตไคน์ และ prostaglandins ออกไปได้เช่นกัน ดังนั้นความเกี่ยวพันของ cytokines ที่เกี่ยวข้องกับการกระตุ้นการทำงานของ MMP-2 ยังจะต้องมีการศึกษาเพิ่มเติมต่อไป

อย่างไรก็ตี มีรายงานเมื่อเร็วๆ นี้ ที่แสดงให้เห็นว่า สารในกลุ่มของ lipopolysaccharide หรือ LPS สามารถกระตุ้นการทำงานของเอนไซม์ MMP-2 ที่สร้างจากเซลล์สร้างเส้นใยที่เพาะเลี้ยงจากมดลูก และจากเซลล์บุหลอดเลือด⁴⁷⁻⁴⁸ ประกอบกับความสามารถของแบคทีเรียกรัมลบชนิดแห่งในการหลัง LPS^{7,45} ทำให้น้ำหนักของความเชื่อที่ว่า LPS ในสารหลังเกี่ยวข้องกับการกระตุ้นการทำงานของ MMP-2 ในการทดลองนี้ มีความเป็นไปได้เพิ่มมากขึ้น

ในการทดลองครั้งนี้ ยังพบว่าผลของสารหลังจากแบคทีเรียในกระตุ้นการทำงานของ MMP-2 สามารถเกิดขึ้นได้ในสภาวะที่มี actinomycin D ซึ่งเป็นสารที่สามารถยับยั้งกระบวนการสังเคราะห์ RNA (transcription) โดยการจับกับเกลียวของสารพันธุกรรม (DNA) เป็นผลให้เอนไซม์ RNA polymerase ไม่สามารถเคลื่อนไปบนสารพันธุกรรมเพื่อสังเคราะห์ RNA ได้⁴¹ ดังนั้น การพบการกระตุ้นการทำงานของ MMP-2 โดยสารหลัง

จากแบคทีเรียในสภาวะที่มี actinomycin D แสดงว่ากระบวนการการเกิดขึ้นไม่ต้องการการสังเคราะห์ RNA เพิ่มเติมจาก RNA ที่มีอยู่แล้วภายในเซลล์ แต่ในสภาวะที่มี cycloheximide ซึ่งสามารถยับยั้งกระบวนการสร้างโปรตีน (translation)⁴² พบว่าปริมาณของ MMP-2 ที่ตรวจตอบได้จาก zymography จะลดลง เนื่องจากเซลล์ไม่สามารถสร้าง MMP-2 เพิ่มเติม และ MMP-2 ที่ตรวจพบได้เป็นเอนไซม์ที่เซลล์ได้สร้างและเก็บไว้ใน secreted vesicles ภายในเซลล์อยู่แล้ว รวมทั้งไม่พบ MMP-2 ในรูปที่พร้อมทำงาน แสดงว่ากระบวนการกระตุ้นการทำงานของ MMP-2 โดยสารหลังจากแบคทีเรียในเซลล์เพาะเลี้ยงจากเหงือก แม้จะไม่ต้องการการสร้าง RNA ขึ้นเพิ่มเติม แต่จำเป็นต้องอาศัยการสร้างโปรตีนขึ้นใหม่

ผลจากการทดลองครั้งนี้ คณะผู้วิจัยยังไม่สามารถชี้ชัดลงไปได้ว่า กลไกการกระตุ้นการทำงานของ MMP-2 เกิดขึ้นได้อย่างไร เท่าที่ปรากฏรายงานในปัจจุบัน พบว่ากลไกการกระตุ้นการทำงานของ MMP เกือบทุกชนิด ยกเว้น MMP-2 จะเกิดจากการตัดส่วน pro-domain ออกโดยเอนไซม์ในกลุ่ม serine proteases ในขณะที่ MMP-2 จะไม่สามารถถูกกระตุ้นการทำงานด้วย serine proteases เช่นเดียวกับ MMP ชนิดอื่น ๆ แต่จะต้องอาศัยเอนไซม์ MMP บนผิวเซลล์ที่ชื่อว่า MT-MMP เป็นตัวกระตุ้น⁴³ แม้จะมีรายงานว่าเซลล์สร้างเส้นใยสามารถสร้างเอนไซม์ MT-MMP บนผิวเซลล์ แต่ยังไม่เคยมีรายงานว่า มีเอนไซม์ตัวนี้อยู่บนผิวเซลล์สร้างเส้นใยจากเหงือก ซึ่งจำเป็นต้องมีการศึกษาเพิ่มเติมต่อไป แต่จากรายงานของ Kim และ Koh⁴⁸ ที่แสดงว่า LPS สามารถกระตุ้นการทำงานของ MMP-2 ในเซลล์บุหลดเดือดได้นั้น พบว่า LPS จะกระตุ้นการทำงานของ MT-MMP บนผิวเซลล์ผ่านทาง NF-*kB* ซึ่งเป็น transcription factor ที่ควบคุมการแสดงออกของยีน (gene) หลายชนิด เป็นผลให้ MMP-2 ในรูปที่พร้อมจะทำงานมีระดับเพิ่มสูงขึ้น แต่ในรายงานดังกล่าวนั้นมีได้ระบุว่า LPS ที่ใช้ในการทดลองได้จากแบคทีเรียชนิดใด

นอกจากผลในการกระตุ้นการทำงานของ MT-MMP แล้ว ยังมีรายงานว่า LPS จาก *E.coli* สามารถกระตุ้นการทำงานของ MMP-2 จาก serine protease activity ในตัวเอง ได้เช่นกัน โดยรายงานของ Takeda และคณะ⁴⁷ พบว่าการกระตุ้นการทำงานของ MMP-2 จากเซลล์สร้างเส้นใยที่เพาะเลี้ยงจากมดลูกโดย LPS จาก *E.coli* จะถูกยับยั้งได้ด้วย aprotinin ซึ่งเป็น specific serine protease inhibitor อาย่าไกร์ดี ยัง

ไม่มีความชัดเจนว่า LPS จากแบคทีเรียในรอยบริทันต์จะมีคุณสมบัติเช่นเดียวกับ LPS จาก *E.coli* หรือไม่

ผลของสารหลังจากแบคทีเรียในการกระตุ้นการทำงานของ MMP-2 ในรายงานนี้ แม้จะยังไม่สามารถตอบคําถามจำนวนมากได้อย่างชัดเจน แต่ก็เป็นจุดเริ่มต้นในการศึกษาถึงความสัมพันธ์ของแบคทีเรียในรอยบริทันต์กับเอนไซม์ MMP-2 ซึ่งน่าจะมีความเกี่ยวข้องกับการทำลายของเนื้อเยื่อบริทันต์ซึ่งแม้ว่า MMP-2 จะไม่พบในน้ำร่องเหงือก แต่จากการที่ระดับของ MMP-2 เพิ่มขึ้นในเนื้อเยื่อเหงือกของผู้ป่วยโรคบริทันต์รวมทั้งความสามารถในการย่อยคลอลาเจนชนิดที่ I และชนิดที่ IV ทำให้น่าเชื่อว่าเอนไซม์นี้ จะมีบทบาทเกี่ยวข้องกับการทำลายของเนื้อเยื่อบริทันต์ การศึกษาเพิ่มเติมถึงความสัมพันธ์ระหว่างแบคทีเรียและ MMP-2 ตลอดจนกลไกที่เกิดขึ้น จะเป็นประโยชน์ต่อการทำงานเข้าใจอันจะนำไปสู่การป้องกันและรักษาโรคบริทันต์ในอนาคตต่อไป

สรุป

งานวิจัยครั้งนี้ แสดงให้เห็นว่าสารหลังจากแบคทีเรียที่เพาะเลี้ยงจากร่องลึกบริทันต์ของผู้ป่วยโรคบริทันต์ในสภาวะที่ไม่มีออกซิเจน สามารถกระตุ้นการทำงานของเอนไซม์ MMP-2 ที่สร้างจากเซลล์เพาะเลี้ยงจากเนื้อเยื่อเหงือกของมนุษย์ กลไกการกระตุ้นการทำงานที่เกิดขึ้นไม่ต้องการการสร้าง RNA ใหม่ แต่ต้องการการสร้างโปรตีนใหม่ และสารที่มีอิทธิพลในการกระตุ้นการทำงานของ MMP-2 นี้ เป็นสารที่สามารถคงสภาพในความร้อนได้

กิตติกรรมประกาศ

คณะผู้วิจัยขอขอบพระคุณ อาจารย์และบุคลากรภาควิชาศัลยศาสตร์ ที่เอื้อเฟื้อในการเก็บเนื้อเยื่อเหงือกจากผู้ป่วย อาจารย์และนิสิตปริญญาโท ภาควิชาบริทันตวิทยา ที่เอื้อเฟื้อในการเก็บน้ำในร่องเหงือกจากผู้ป่วย อาจารย์และบุคลากรภาควิชากายวิภาคศาสตร์ ที่ให้ความสะดวกในการใช้สถานที่สำหรับการทำงานวิจัย

งานวิจัยครั้งนี้ได้รับการสนับสนุนส่วนหนึ่งจาก กองทุนอุดหนุนการวิจัย โครงการวิจัยทางทันตกรรมคณะทันตแพทยศาสตร์ จุฬาลงกรณ์มหาวิทยาลัย และได้รับทุนสนับสนุนส่วนใหญ่จาก กองทุนสนับสนุนการวิจัย สำนักงานคณะกรรมการวิจัยแห่งชาติ (สกอ.) ประจำปี 2543

ເອກສາກອ້າງອີງ

1. Listgarten MA. Pathogenesis of periodontitis. *J Clin Periodontol* 1986;13:418-25.
2. Moore WEC, Moore LH, Ranney RR, Smibert RM, Burrmeister JA, Schenkein HA. The microflora of periodontal sites showing destructive progression. *J Clin Periodontol* 1991;18:729-39.
3. Haffajee AD, Socransky SS. Microbial etiological agents of destructive periodontal diseases. *Periodontol* 2000 1994;5:78-111.
4. Birkedal-Hansen H, Taylo RE, Zambon JJ, Baewa PK, Neiders M. Characterization of collagenolytic activity from strains of *Bacteroides gingivalis*. *J Periodontal Res* 1988;23:258-64.
5. Robertson PB, Lantz M, Marucha PT, Kornman KS, Trummel CL, Holt SC. Collagenolytic activity associated with bacteroides species and *Actinobacillus actinomycetemcomitans*. *J Periodontal Res* 1982;17:275-83.
6. Sorsa T, Ingman T, Suomalainen K, Haapasalo M, Konttinen YT, Lindy O, Saari H, Uitto VJ.. Identification of protease from periodontopathogenic bacteria as activators of latent human neutrophil and fibroblast-type interstitial collagenase. *Infect* 1992; 60:4491-5.
7. Birkedal-Hansen H. Role of matrix metalloproteinases in human periodontal diseases. *J Periodontol* 1993;64:474-84.
8. DeCarlo AA Jr., Windsor LJ, Bodden MK, Harber GL, Birkedal-Hansen B, Birkedal-Hansen H. Activation and noval processing of matrix metalloproteinases by a thiol-proteinase from the oral anaerobe *Porphyromonas gingivalis*. *J Dent Res* 1997;76:1260-70.
9. Payne JB, Peluso JF Jr., Nichols FC. Longitudinal evaluation of peripheral blood monocyte secretory function in periodontitis-resistant and periodontitis-susceptible patients. *Arch Oral Biol* 1993;38:309-17.
10. Garrison SW, Nichols FC. LPS-elicited secretory respons in monocytes: altered release of PGE₂ but not IL-1 beta in patients with adult periodontitis. *J Periodontal Res* 1989;24:88-95.
11. McFarland CG, Reynolds JJ, Meikle MC. The release of interleukin-1 beta, tumor necrosis factor-alpha and interferon-gamma by cultured peripheral blood mononuclear cells from patients with periodontitis. *J Periodontal Res* 1990;25:207-14.
12. Gemmell E, Marshall RI, Seymour GJ. Cytokines and prostaglandins in immune homeostasis and tissue destruction in periodontal disease. *Periodontol* 2000 1997;14:112-43.
13. Ellerbroek SM, Stack MS. Membrane associated matrix metalloproteinases in metastasis. *Bioessays* 1999;21:940-9.
14. Shapiro SD. Matrix metalloproteinase degradation of extracellular matrix: biological consequences. *Curr Opin Cell Biol* 1998;10:602-8.
15. Sorsa T, Uitto V-J, Suomalainen K, Vauhkonen M, Lindy S. Comparison of interstitial collagenases from human gingiva, sulcular fluid and polymorphonuclear leukocytes. *J Periodontal Res* 1988;23:386-93.
16. Kubota T, Nomura T, Takahashi T, Hara K. Expression of mRNA for matrix metalloproteinases and tissue inhibitors of metalloproteinases in periodontitis-affected human gingival tissue. *Arch Oral Biol* 1996;41:253-62.
17. Romanelli R, Mancini S, Lashinger C, Overall CM, Sodek J, McCulloch CA. Activation of neutrophil collagenase in periodontitis. *Infect Immun* 1999;67:2319-26.
18. Golub LM, Siegel K, Ramamurthy NS, Mandel AD. Some characteristics of collagenase activity in gingival crevicular fluid and its relationship to gingival disease in humans. *J Dent Res* 1976;55:1049-57.
19. Overall CM, Weibkin OW, Thonard JC. Demonstration of tissue collagenase activity in vivo and its relationship to inflammation severity in human gingiva. *J Periodontal Res* 1987;22:81-8.
20. Uitto V-J, Suomalainen K, Sorsa T. Salivary collagease. Origin, characteristics and relationship to periodontal health. *J Periodontal Res* 1990;25:135-42.
21. Ingman T, Tervahartiala T, Ding Y, Tschesch H, Haeria A, Kinane DF, Konttinen YT, Sorsa T. Matrix metalloproteinases and their inhibitors in gingival crevicular fluid and saliva of periodontitis patients. *J Clin Periodontol* 1996;23:1127-32.
22. Heikinheimo K, Sato T. Expression of basement membrane type IV collagen and type IV collagenases (MMP-2 and MMP-9) in human fetal teeth. *J Dent Res* 1995;74:1226-34.
23. Makela M, Salo T, Uitto V-J, Larjava H. Matrix metalloproteinases (MMP-2 and MMP-9) of the oral cavity: cellular origin and relationship to periodontal status. *J Dent Res* 1994;73:1397-406.
24. Woessner JF Jr., Matrix metalloproteinases and their inhibitors in connective tissue remodelling. *FASEB J* 1991;5:2145-54.
25. Ingman T, sorsa T, Lindy O, Koshi H, Konttinen YT. Multiple forms of gelatinases/type IV collagenases in saliva and gingival crevicular fluid of periodontitis patients. *J Clin Periodontol* 1994;21:26-31.
26. Amies RT, Quigley JP. Matrix metalloproteinase-2 is an interstitial collagenase. Inhibitor-free enzymes catalyzes the cleavage of collagen fibrils and soluble native type I collagen generating the specific 3/4 and 1/4 length fragments. *J Biol Chem* 1995;270:5872-6.
27. Kerkvliet EHM, Docherty AJP, Beertsen W, Everts V. Collagen breakdown in soft connective tissue explants is associated with the level of active gelatinase A (MMP-2) but not with collagenase. *Matrix Biol* 1999;17:373-80.
28. Creemers LB, Jansen ID, Docherty AJP, Reynolds JJ, Beertsen W, Everts V. Gelatinase A (MMP-2) and cysteine proteinases are essential for the degradation of collagen in soft connective tissue. *Matrix Biol* 1998;17:35-46.
29. Kuvatanasuchati J, Laousrisin N. Identification of bacteria in periodontal pockets of Thai periodontitis patients. *CU Dent J* 1998;21:31-5.
30. Syed SA, Loesche WJ, Pope HL, Grenier E. Predominant cultivable flora isolated from human root surface caries plaque. *Infect Immun* 1972;11:721-31.
31. Loesche WJ, Hockett RN, Syed SA. The predominant cultivable flora of tooth surface plaque removed from institutionalized subjects. *Arch Oral Biol* 1972;17:1311-25.
32. Johansson A, Bergenholz A, Holm SE. Strong cytotoxicity to human gingival fibroblasts by *Porphyromonas gingivalis* ATCC 33277. *J Periodontal Res* 1996;31:477-82.
33. Darongsawan T, Pavasant P. *In vitro* effect of hydroxyapatite crystal on gingival and periodontal ligament fibroblasts. *CU Dent J* 1997;20:183-93.
34. Yu M, Sato H, Seiki M, Thompson EW. Complex regulation of membrane-type matrix metalloproteinase expression and matrix metalloproteinase-2 activation by concanavalin A in MDA-MB-231 human breast cancer cells. *Cancer Res* 1995;55:3272-7.

35. Uitto V-J, Larjava H, Heino J, sorsa T. A protease of *Bacteroides gingivalis* degrades cell surface and matrix glycoprotein of cultured gingival fibroblasts and induces secretion of collagenase and plasminogen activator. *Infect Immun* 1989;57:213-8.
36. Wang PL, Shirasu S, Shinohara M, Daito M, Oido M, Kowashi Y, Ohura K. Induction of apoptosis in human gingival fibroblasts by a *Porphyromonas gingivalis* protease preparation. *Arch Oral Biol* 1999;44:337-42.
37. Mossman T. Rapid colorimetric assay for cellular growth and survival; application to proliferation and cytotoxicity assay. *J Immunol Methods* 1983;65:55-63.
38. Darongsawan T, Pavasant P. PDGF stimulates proliferation and matrices synthesis in cultured human PDL cells. *J Dent Assoc Thai* 1999;49:301-11.
39. Laemmli UK. Cleavage of structural proteins during the assembly of the head of bacteriophage T4. *Nature* 1970;227:680-5.
40. Dhanesuan N, Pavasant P. Stimulation of MMP-3 (stromelysin-1) secretion in periodontal ligament fibroblasts by increasing level of intracellular calcium and cyclic AMP *in vitro*. *CU Dent J* 1998;21:147-55.
41. Stryer L. Biochemistry. 3rd ed., New York:Freeman and company, 1998:714-5.
42. Stryer L. Biochemistry. 3rd ed., New York:Freeman and company, 1988:759.
43. Firth JD, Putnins EE, Larjava H, Uitto V-J. Bacterial phospholipase C upregulates matrix metalloproteinase expression by cultured epithelial cell. *Infect Immun* 1997;65:4931-6.
44. Ding Y, Uitto V-J, Firth J, Salo T, Maapasalo M, Konttinen YT, et al. Modulation of host matrix metalloproteinase by bacterial virulence factors relevant in human periodontal disease. *Oral Dis* 1995;1:279-86.
45. Wilson M, Reddi K, Henderson B. Cytokines-inducing components of periodontopathogenic bacteria. *J Periodontal Res* 1996;31: 393-407.
46. Tamura M, Tokuda M, Nagaoka s, Takada H. Lipopolysaccharides of *Bacteroides intermedius* (*Prevotella intermedia*) and *Bacteroides (Porphyromonas)* gingivalis induce interleukin-8 gene expression in human gingival fibroblast cultures. *Infect Immun* 1992;60:4932-7.
47. Takeda M, Imada K, Sato T, Ito A. Activation of human progelatinase A/ promatrix metallo-proteinase 2 by *Escherichia coli*-derived serine protease. *Biochem Biophys Res Commun* 2000;268:128-32.
48. Kim HG, Koh GY. Lipopolysaccharide activates matrix metalloproteinase-2 in endothelial cells through a NF- κ B dependent pathway. *Biochem Biophys Res Commun* 2000;269:401-5.
49. Strongin AY, Collier I, Bannikov G, Marmer BL, Grant GA, Goldberg GI. Mechanism of cell surface activation of 72 kDa type IV collagenase. Isolation of the activated from of the membrane metallproteinase. *J Biol Chem* 1995;270:5331-8.

Activation of MMP-2 by bacterial supernate cultivated from periodontal pockets

Kassara Pattamapun¹, D.D.S., M.S.

Thanathorn Tungtong², Thanaphum Osathanon², Woraphat Liwchulaschan²

Jintakorn Kuvatanasuchati³, D.D.S., M.S.

Tussanee Darongsuwan¹, D.D.S., M.S.

Prasit Pavasant¹, D.D.S., Ph.D.

¹Department of Anatomy, Faculty of Dentistry, Chulalongkorn University

²Undergraduate student, Faculty of Dentistry, Chulalongkorn University

³Department of Microbiology, Faculty of Dentistry, Chulalongkorn University

Abstract

Objective The aim of this study is to focus on the effect of bacterial supernate, cultivated from the patients' periodontal pocket, on the activation of MMP-2 from cultured human gingival fibroblasts.

Materials and methods Anaerobic bacteria from periodontal pockets were cultivated for 5 days. Bacterial supernate, either heat inactivated or non-heated, was added into the culture medium of human gingival fibroblasts for 48 hours in serum-free condition. The cytotoxicity of the supernate was assayed by MTT,

while the level of MMP-2 activation was measured by gelatin zymography. In another experiment, the effect of bacterial supernate was studied in the presence of actinomycin D or cycloheximide for 24 hours.

Results Both heat inactivated and non-heated bacterial supernate, in the non-toxic levels, were able to activate MMP-2 in a dose dependent manner. This activation can be blocked by cycloheximide but not actinomycin D.

Conclusion Bacterial supernate from anaerobic bacteria cultivated from periodontal pocket was able to activate MMP-2 secreted from human gingival fibroblasts in vitro. This activation process might be regulated in the translation level.

(CU Dent J 2001;24:1-12)

Key words: bacterial supernate; gingival fibroblasts MMP-2; periodontitis